

창립
40주년 학술대회
논문 87-D-20-3

浦項製鐵 1厚板 壓延 ROLL 驅動係의 異別에 關한 研究

정 호성[†] 產業科學技術研究所 制御研究部
강 명조 浦項製鐵 設備管理部 電氣技術課

Identification of control system of No.1 Plate Mill in POSCO

Ho-Seong Jeong RIST Control Research Lab.
Myung-Jo Kang POSCO Maintenance Dep.

ABSTRACT

On the rolling mill plant, the quality of products depends on the ability to follow up the command of roll speed and the magnitude of impact drop. In this paper, the frequency response method is applied to the main motor system of No.1 Plate Mill Plant in POSCO. This paper shows the influences when the pseudo random noise as test signal is applied to the system to be measured and presents the proper magnitude of test signal.

I.序論

제어계의 異別 방법은 impulse response, step response 등 여러 가지가 제안되어 있다. 하지만, 製鐵 풀랜트, 특히 壓延 驅動 制御係에 대한 실제적인 쟁법은 아직 확립되어 있지 못하다.

압연 풀랜트에서는 Roll 회전速度의 目標值에의 推進性과 압연계 신단이 Roll에 물려들어감 때 생기는 impact drop 양에 따라 제품의品質이 크게 좌우된다. 이와 관련하여 압연계의 물림에 대한 부하 토오크 外亂을 推定하여 feedforward 상에서 impact drop을 개선한다든지, 直流機와 Roll이 驅動系로 直結된 압연기의 대해 종래의 PI 방식에 외란 estimator를 병용한 속도 제어계 등이 제안되었었다. 그러나, 압연 구동계의 전체 제어적인 안정도를 판별하고 그 dataloger로부터 제어계의異常有無의 類型을體系화한 것은 발표한 바 없다. 따라서 동적인 상태에서의 시스템 특성을 정확히 파악할 수 있다면, 突發의 故障이나 事故를 미연에 預測하여 궁극적으로는 제품 품질에 寄與할 것이다.

본 연구에서는 直流機와 壓延 Roll이 駕動性的으로結合된 浦項製鐵 1厚板 壓延 Roll驅動 制御係를 周波數 鹿答側面에서 조사하여, 제어계의異常有無를 類型別로 判別할 수 있는 基準의 定立 및 制御係 検定 方法의體系의 基礎를確立하고자 한다.

2. 1厚板 壓延 풀 驅動係 異別

2.1. 1후관 압연 풀 驅動係의 構成

보통 제철 1후관 압연 구동계는 그림1과 같이 구성되어 있으며 motor는 용량 문제 때문에 top 및 bottom의 2개의 直流機로 구성되어 있다. motor는 正方向 1회 壓延한 후 逆方向으로 1회 壓延하는 방식으로 통상 16 pass의 압연을 3번 정도 실시하고 있으며, 가장 긴 pass도 4초를 초과하는 경우는 없다.

2.2. impulse testing

원래 周波數 鹿答은 실험적으로 시험 대상에 어려 주파수의 正弦波 信號를 가해 그 出力의 定常 鹿答에 의해 入力 信號와의 振幅比, 位相差를 測定하여 구해지는 것이다. 경우에 따라서는 입력 신호의 발생, 출력 신호 測定上의 制約으로 인해 step response, impulse response 등의 測定을 實現하여 나온 데이터를 갖고 계산하여 주파수 응답을 구하기도 한다.

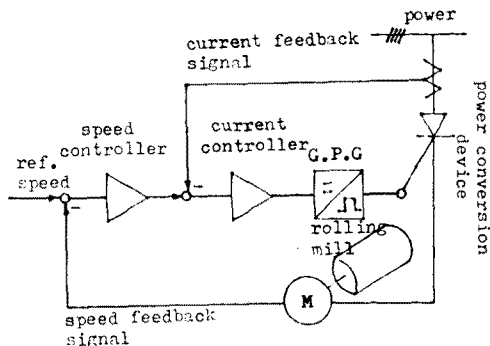


그림1. 1후관 압연 구동계의 구성

Fig.1. Configuration of rolling mill system of No.1 Plate mill

impulse testing 기법은 시스템 자체에서 발생되는 電氣的 雜音이 있을 경우 시스템 파라메타를 검정해주는 實際에 있어서는 使用不可能하다. 그러나하면, 첫째, 시스템에 가해지는 impulse가 진짜 impulse라면, 그것의 duration은 매우 짧으므로 작은 에너지를 가지며, 둘째, 시스템 자체에 의해 발생하는 random noise는 시스템에 가해지는 impulse의 효과를 불투명하게 한다. 이와 같은 문제점은 impulse와 수학적 특성이 같은 random noise를 가해줌으로써 극복될 수 있다. 그림 2에 실제 시스템에 적용한 블록도를 나타내었다.

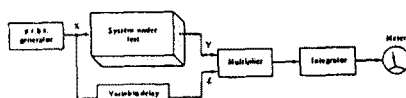


그림2. impulse testing 블록도

Fig.2. Block diagram of an impulse testing

포항제철 1 후판 압연 ROLL 구동계의 식별에 관한 연구

여기서의 본 문제점은 pseudo random noise 가 正常 機械 상태의 1후판 압연계에 影響을 미치지 않고 제대로識別可能한 test noise 의 크기는 어느 정도인가. 그리고 1후판은 가역 roll 시스템으로 기준 입력에서 step change 될 때 위의 방법에 의한 식별이 유호한가 등이다. 본 연구에서는 有効한 識別을 위한 test noise 크기를 찾아내는 것으로 限制하였다.

본 연구 수행에 사용된 계측 장비는 FFT 分析 裝置로서處理過程은 그림 3과 같다.

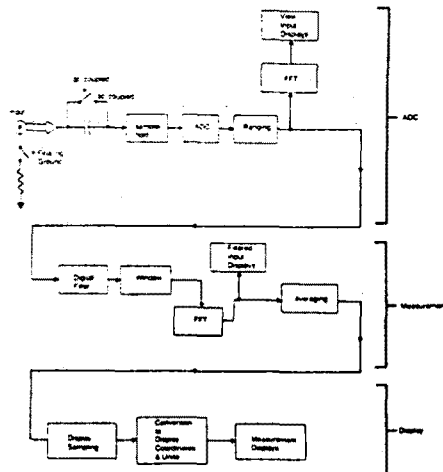


그림3. 신호 측정 과정
Fig.3. Overview of measurement process

실험시 Hanning window를 사용하였다. window를 통과한 데이터는 측정될 준비가 다 된 것이다.

인가한 입력을 $x(t)$, 출력을 $y(t)$ 라 하고, 이것의 Fourier 변환을 각각 $X(f)$, $Y(f)$, 離散函數를 $g(t)$ 혹은 $G(f)$ 로 두면 다음과 같이 된다.

$$\begin{aligned} Y(f) &= \int_{-\infty}^{\infty} y(t) \cdot e^{-j2\pi ft} dt \\ &= \int_{-\infty}^{\infty} \int_{-\infty}^{\infty} g(\lambda) x(t-\lambda) e^{-j2\pi f(t-\lambda)} dt \\ &= \int_{-\infty}^{\infty} g(\lambda) e^{-j2\pi f\lambda} d\lambda \int_{-\infty}^{\infty} x(t-\lambda) e^{-j2\pi f(t-\lambda)} d(t-\lambda) \\ &= G(f) \cdot X(f) \end{aligned}$$

여기서 $G(f) = G_{xy}/G_{xx}$ 이다.

G_{xy} 는 cross spectrum이고, G_{xx} 는 power spectrum이다.

FFT 분석 장치의 實測 랜드 적용시 가장 큰 문제점은 압연 구동 계어개는 동작 영역이 50 Hz를 넘지 않는 低周波数이므로 FFT演算에 必要한 데이터의 양을 모두 받는 데는 時間 上의 限制이 따른다.

2.3. 1厚板 轉延 驅動 Motor制御係에 대한 實驗

본 연구의 대상 플랜트인 포항제철 1厚板 工程은 轉延 工程이다. 압연 플랜트에서는 noise의 影響이 심각하다. 이것을 규소화하려면 average 외수를 늘어야 하나 현실적으로 불가하다. 압연 공정에서는 轉延材의 材質 및 貨荷 條件이 거의同一한 경우가 많다. 본 연구에서는 측정 range를 바꾸어가며 거의類似한 轉延 상태의 1후판 main motor에 대해 시험을 하였다.

그림 4는 時間 領域에서 본 인가試驗信號이다. 이 인가 시험 신호는 FFT 分析 裝置에서 발생되며, 基準 速度 繼에 1/10 감쇄기를 통하여 가해진다. tach generator를 통해 나온 출력 신호가 다시 FFT 分析 裝置로 입력되어 분석된다. 그림 5-a는 각각 基準值, 離還 信號值, 轉延時間을 나타내며 그림 5-b는 그림 5-a에 대응한 motor top부의 周波數 電壓으로서 주파수 범위는 25 Hz이며, 시험 신호의 크기는 0.4 V이다.

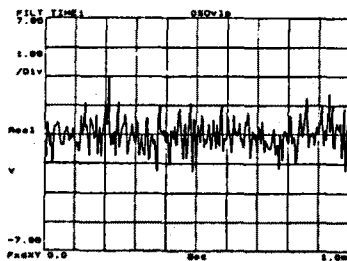


그림 4. FFT 분석 장치의 시험 신호
Fig.4. Test signal of FFT analyzer

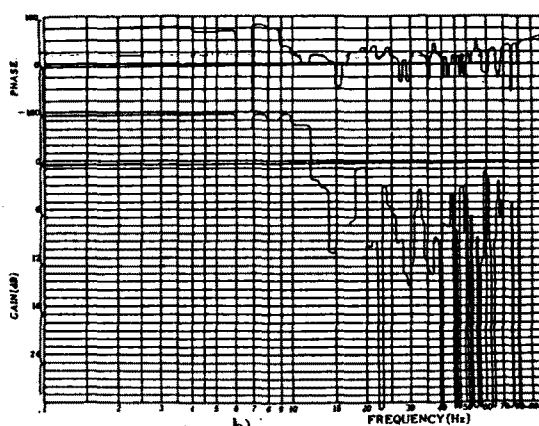
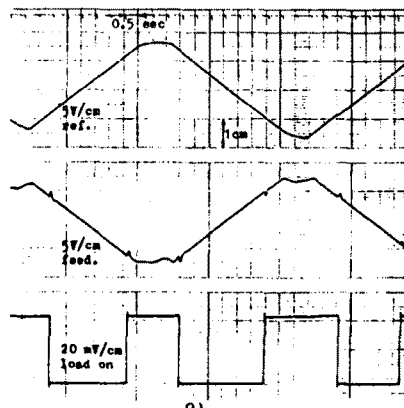


그림 5. a) 1 후판 압연계의 전압 파형
b) 1 후판 압연계의 주파수 응답
(주파수 범위 25 Hz, 0.4 V 시험 신호)
Fig.5. a) Voltage wave forms of rolling mill system
b) Frequency response of rolling mill system
(25 Hz range, 0.4 V test signal)

그림 6-a, 6-b는 주파수 범위를 100Hz, 시험 신호 크기를 3.2 V로 한 경우이다.

本研究에 사용된 FFT 分析 裝置는 한 번의 FFT演算에 512 개의 data가 필요하다. 그리고 25 Hz 범위에서 512 data를 얻는 데에 20 초가 필요하다. 100Hz 범위에서는 5 초가 소요된다. 따라서 1 pass 압연 시간이 긴 경우도 4 초 정도인 것을 감안하면 data의 흐름이 예상된다. 1 pass 압연 이후 無負荷 압연이 3 초에서 10초 정도 이루어진 다음 앞서의 압연 방향과는 反轉로 압연이 이뤄지는 것이 反復된다. 그림 5의 경우 측정 영역이 25 Hz이므로 full data를 받는 데 20초가 소요된다. 따라서 1 pass 압연 시간이 긴 경우도 4 초 정도인 것을

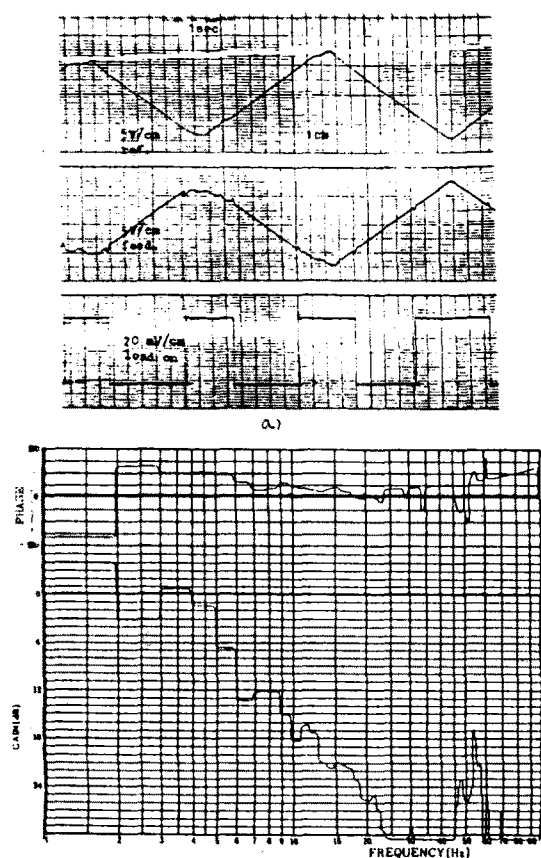


그림 6. a) 1 후판 압연계의 전압 파형
b) 1 후판 압연계의 주파수 응답
(주파수 범위 100 Hz, 시험 신호 3.2 V)

Fig.6. a) Voltage wave forms of rolling mill system
b) Frequency response of rolling mill system
(range 100 Hz, test signal 3.2 V)

감안하면 data 의 폐순이 예상된다. 1 pass 압연이후 無負荷 압연이 3 초에서 10초 정도 이루어진 다음 압선의 압연 방향과는 反對로 압연이 이뤄지는 것이 반복된다. 그림 5의 경우 속정 영역이 25 Hz이므로 full data 를 받는 데 28초가 소요된다. 이 경우 청방향 압연, 푸부하 압연, 역방향 압연을 모두 포함하므로 data 가 폐순될 수 밖에 없다. 그림 7-a는 시험 신호가 0.8 V, 그림 7-b는 0.4 V이며 둘 다 100Hz 범위에서 거의 같은 압연 조건 하에서 실험이 행해졌다. 그림 7-b의 경우 신호가 거의 제대로 될 수 없음을 보여주고 있다.

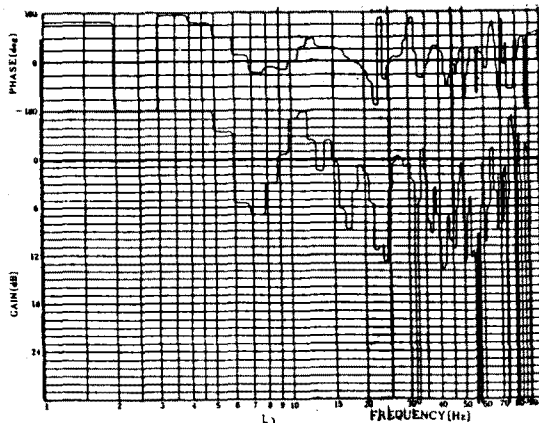
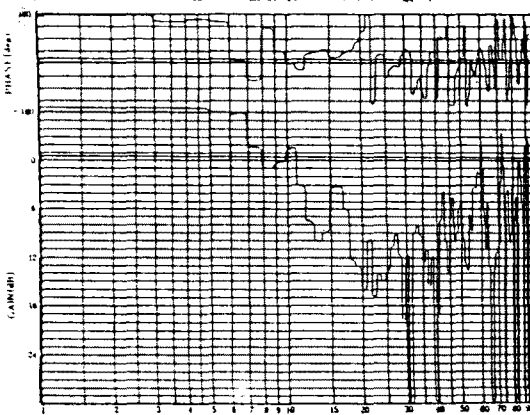


그림 7. 1 후판 Motor 구동계 주파수 응답
a) 주파수 범위 100 Hz, 시험 신호 0.8 V
b) 주파수 범위 100 Hz, 시험 신호 0.4 V

3. 結論

본 연구에서는 液項製鐵厂 厚板 鋼延 Roll 驅動 Motor 의 top 및 bottom 부분에 대하여 시스템 識別를 위한 實驗을 한 결과 다음과 같은 결론을 얻었다.

시험 신호 인가시 機械上의 影響을考慮하여 가능한 작게 하였으나 어느 정도 이하인 경우 전혀 時差이 불가능하였으며, 1후판의 경우 1/18 감쇄기 사용시 3 V 이상일 때라야 時差이 가능하였다.

본 연구 수행시 未解決占인 試驗 信號의 上限線 規明 및 시스템 時差에 解釋의 方法의導入 등을 今后 계속 연구하여 全 鋼延 line 的 識別를 正確하게 해내면 最適 鋼延 條件의導出이 可能할 것이다.

参考文獻

1. H.Rake,"Step response and Frequency response method", AUTOMATICA, Vol.16, 1980, pp519~526
2. K.R.Godfrey,"Correlation methods", AUTOMATICA, Vol.16, 1980, pp527~534
3. 斉藤 制治, 吉沢 豊, 石田祐一, 井上栄輔, "L.Q.I. 技法による圧延機速度制御系の外乱抑制", 電気学会論文誌B, Vol. 103, No. 9, 1983, p. 634
4. 吉沢 豊, 斉藤 制治, 石田祐一, 井上栄輔, "L.Q.I. 技法による圧延機の速度外乱抑制を実現する設計", 第26回自動制御連合講演会資料, No. 3014, 1983, pp. 343 ~ 344.
5. 斉藤 制治, 石田祐一, 吉沢 豊, 井上栄輔, 河竹好一, "圧延機のL.Q.I. 速度制御系とパルスタ同定器", 電気学会論文誌B, Vol. 105, No. 3, 1985, pp. 257 ~ 264.
6. 石田一郎, 井口雅彦, "モデル追従形サーボコントローラによる直流電動機の制御", 電気学会論文誌B, Vol. 106, No. 3, 1986, pp. 217 ~ 224.
7. Fitzgerald,Kingsley,Kusko, Electric machinery, McGraw Hill, 1971
8. Mischa Schwarz, Leonard Shaw, Signal processing, McGraw Hill, 1974